

Практическое занятие №15-17

Расчет параметров режима при устойчивом ОЗЗ

Цель практической работы: Освоить расчет параметров режима при устойчивом ООЗ средствами пакета Excel.

Задачи практической работы:

1.Используя встроенные функции пакета Excel построить график тройки векторов фазных напряжений и ток и напряжение нулевой последовательности при изменении переходного сопротивления ОЗЗ от нуля до бесконечности.

Краткое содержание работы

В сетях с изолированной нейтралью провода трехфазной системы связаны с землей через емкости и активные сопротивления изоляции, распределенные по длине линий. На рис.1.1 приведена схема замещения незаземленной сети без нагрузки согласно [32]. Схема замещения включает источник питания, эквивалентную линию, емкости фаз (C_A, C_B, C_C) и активные проводимости (G_A, G_B, G_C), которые приняты сосредоточенными, что вполне допустимо в области частот, которую занимают, рассматриваемые далее процессы. Внутреннее сопротивление источника питания и продольные сопротивления линий сети намного меньше, чем сопротивления фаз относительно земли, поэтому при устойчивых замыканиях ими также можно пренебречь.

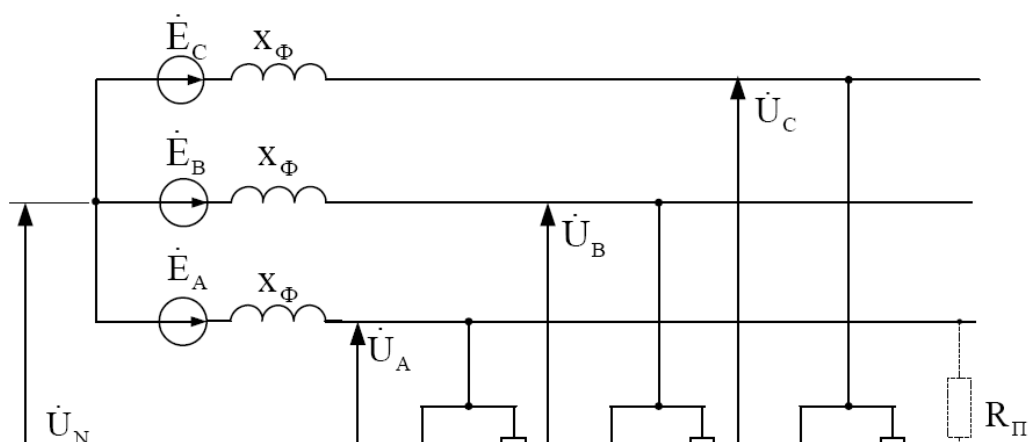


Рис.1.1.Схема замещения сети с изолированной нейтралью

При принятых допущениях можно записать следующее:

$$\dot{I}_A = (\dot{E}_A + \dot{U}_N) \cdot \dot{Y}_A, \quad \dot{I}_B = (\dot{E}_B + \dot{U}_N) \cdot \dot{Y}_B, \quad \dot{I}_C = (\dot{E}_C + \dot{U}_N) \cdot \dot{Y}_C,$$

где \dot{U}_N – напряжение на нейтрали относительно земли, $\dot{E}_A = \dot{E}_\phi$, $\dot{E}_B = a^2 \cdot \dot{E}_\phi$,
 $\dot{E}_C = a \cdot \dot{E}_\phi$ - ЭДС источника питания; $\dot{Y}_A = G_A + j\omega C_A$, $\dot{Y}_B = G_B + j\omega C_B$,
 $\dot{Y}_C = G_C + j\omega C_C$; ω – круговая частота промышленного тока.

При отсутствии замыкания на землю сумма токов \dot{I}_A , \dot{I}_B , \dot{I}_C равна нулю, то есть выполняется равенство:

$$(\dot{E}_A + \dot{U}_N) \cdot \dot{Y}_A + (\dot{E}_B + \dot{U}_N) \cdot \dot{Y}_B + (\dot{E}_C + \dot{U}_N) \cdot \dot{Y}_C = 0,$$

Решив это уравнение относительно \dot{U}_N получим:

$$\dot{U}_N = -\dot{E}_\phi \cdot \left(\frac{G_A + a^2 \cdot G_B + a \cdot G_C}{\dot{Y}_A + \dot{Y}_B + \dot{Y}_C} + j\omega \cdot \frac{C_A + a^2 \cdot C_B + a \cdot C_C}{\dot{Y}_A + \dot{Y}_B + \dot{Y}_C} \right)$$

Для разработки алгоритмов ОМП при процессах, связанных с ОЗЗ, необходимо хорошо понимать их закономерности. Данные закономерности можно пытаться получить либо расчетным путем, либо путем приведения экспериментальных наблюдений. Рассмотрим аналитические модели в которых исследуются поведение тока и напряжения при ОЗЗ.

В незаземленных сетях замыкания на землю могут быть устойчивыми или дуговыми. Устойчивые замыкания в свою очередь разделяют на металлические замыкания и замыкания через переходное сопротивление, которое обозначим R_{Π} . Этим сопротивлением может быть сопротивление тлеющей изоляции, сопротивление растеканию тока в земле.

Рассмотрим режим устойчивого замыкания фазы А. Для этого режима справедливо соотношение

$$(\dot{E}_A + \dot{U}_N) \cdot G_{\Pi} + (\dot{E}_B + \dot{U}_N) \cdot \dot{Y}_B + (\dot{E}_C + \dot{U}_N) \cdot \dot{Y}_C = 0 \quad (1.1)$$

где $G_{\Pi} = \frac{1}{R}$ – проводимость в месте замыкания.

Решив (1.1) относительно \dot{U}_N , получим

$$\dot{U}_N = -\dot{E}_{\Phi} \cdot \left(\frac{G_{\Pi}}{\dot{Y}_A + \dot{Y}_B + \dot{Y}_C + G_{\Pi}} + \frac{\dot{Y}_A + a^2 \cdot \dot{Y}_B + a \cdot \dot{Y}_C}{\dot{Y}_A + \dot{Y}_B + \dot{Y}_C + G_{\Pi}} \right)$$

При определении напряжения на нейтрали в режиме однофазного замыкания можно пренебречь возможной несимметрией фаз сети, то есть считать $\dot{Y}_A = \dot{Y}_B = \dot{Y}_C = \dot{Y}_{\Phi}$. При этом

$$\frac{\dot{Y}_A + a^2 \cdot \dot{Y}_B + a \cdot \dot{Y}_C}{\dot{Y}_A + \dot{Y}_B + \dot{Y}_C + G_{\Pi}} = 0$$

Следовательно,

$$\dot{U}_N = -\dot{E}_{\Phi} \cdot \frac{G_{\Pi}}{3 \cdot \dot{Y}_{\Phi} + G_{\Pi}} \quad (1.2)$$

Преобразуем (1.2) к виду

$$\dot{U}_N = -\dot{E}_{\Phi} \cdot \frac{1}{1 + R_{\Pi}(3G_{\Phi} + 3j\omega C_{\Phi})}, \quad (1.3)$$

где $G_{\Phi} = G_A = G_B = G_C$, $C_{\Phi} = C_A = C_B = C_C$.

Из (1.3) следует, что напряжение на нейтрали увеличивается по мере уменьшения сопротивления в месте повреждения. При $R_{\Pi} = 0$ напряжение на нейтрали имеет максимальное значение, равное фазной ЭДС. Напряжения фаз относительно земли при однофазном замыкании могут быть определены следующим образом:

– напряжение фазы А

$$\dot{U}_A = \dot{U}_N + \dot{E}_A = -\dot{E}_\Phi \cdot \frac{3G_\Phi R_\Pi + 3j\omega C_\Phi R_\Pi}{1 + R_\Pi(3G_\Phi + 3j\omega C_\Phi)}, \quad (1.4)$$

– напряжения неповрежденных фаз В и С

$$\dot{U}_B = \dot{U}_N + \dot{E}_B = -\dot{E}_\Phi \cdot \frac{1 - a^2(1 + 3G_\Phi R_\Pi + 3j\omega C_\Phi R_\Pi)}{1 + 3G_\Phi R_\Pi + 3j\omega C_\Phi R_\Pi}, \quad (1.5)$$

$$\dot{U}_C = \dot{U}_N + \dot{E}_C = -\dot{E}_\Phi \cdot \frac{1 - a(1 + 3G_\Phi R_\Pi + 3j\omega C_\Phi R_\Pi)}{1 + 3G_\Phi R_\Pi + 3j\omega C_\Phi R_\Pi}. \quad (1.6)$$

Векторная диаграмма напряжений при замыкании фазы А на землю представлена на рис.1.2. Как видно из диаграммы и из соотношений (1.4) – (1.6), при $R_\Pi = 0$ (векторы проведены сплошными линиями) напряжение нейтрали по абсолютному значению равно фазной ЭДС, а напряжения неповрежденных фаз относительно земли равны междуфазному напряжению.

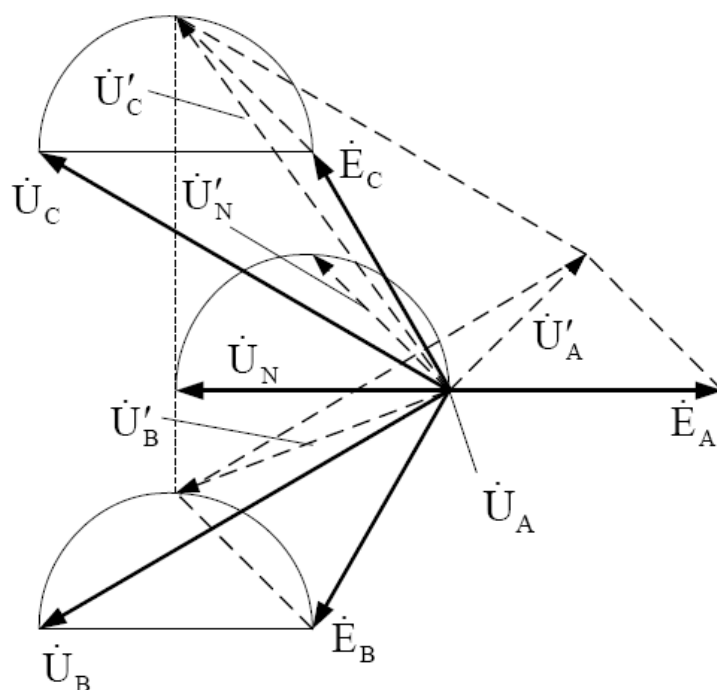


Рис.1.2. Векторная диаграмма напряжений при замыкании фазы А на землю

По мере увеличения сопротивления в месте замыкания напряжение нейтрали уменьшается. При этом конец вектора перемещается по полуокружности. Векторы напряжений неповрежденных фаз, равные сумме векторов соответствующих фаз ЭДС и напряжения нейтрали, так же скользят

по полуокружностям. На диаграмме пунктиром показано положение векторов для случая, когда сопротивление в месте замыкания равно суммарному емкостному сопротивлению сети относительно земли $R_{\Pi} = \frac{1}{3\omega C_{\Phi}}$

Треугольник междуфазных напряжений остается неизменным, то есть замыкание фазы на землю не влияет на работу присоединенных приемников энергии.

Далее определим ток в месте замыкания. Согласно схеме на рис. 1.1

$$\begin{aligned} \dot{I}_3 &= -\dot{I}_A - \dot{I}_B - \dot{I}_C = -(\dot{E}_A + \dot{U}_N) \cdot \dot{Y}_{\Phi} - (\dot{E}_B + \dot{U}_N) \cdot \dot{Y}_{\Phi} - (\dot{E}_C + \dot{U}_N) \cdot \dot{Y}_{\Phi} \\ \dot{I}_3 &= -(\dot{E}_A + \dot{E}_B + \dot{E}_C + 3\dot{U}_N) \cdot \dot{Y}_{\Phi} \end{aligned} \quad (1.7)$$

В (1.7) подставим \dot{U}_N по (1.3) и учтем, что $\dot{E}_A + \dot{E}_B + \dot{E}_C = 0$. В результате получим

$$\dot{I}_3 = \frac{\dot{E}_{\Phi}}{R_{\Pi} + \frac{1}{3G_{\Phi} + 3j\omega C_{\Phi}}} \quad (1.8)$$

Формуле (1.8) соответствует схема, приведенная на рис.1.3. На рис.1.4 показано, как изменяется модуль относительного значения тока замыкания

$I_{3*} = \left| \frac{\dot{I}_3}{\dot{I}_{3R_{\Pi}=0}} \right|$ в зависимости от R_{Π} . Здесь ток $\dot{I}_{3R_{\Pi}=0}$ - ток замыкания при $R_{\Pi}=0$.

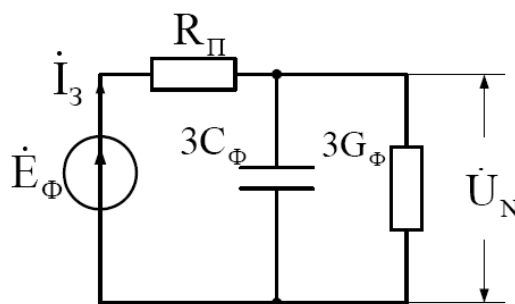


Рис.1.3. Схема замещения сети с замкнутой на землю фазой.

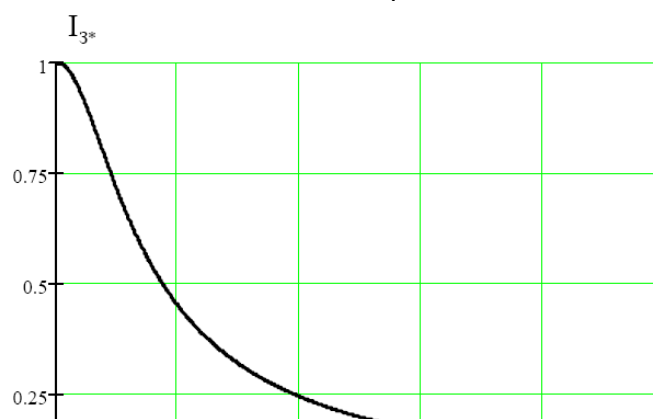


Рис.1.4. Ток замыкания

МЕТОДИЧЕСКИЕ УКАЗАНИЯ К ВЫПОЛНЕНИЮ ПРАКТИЧЕСКОЙ РАБОТЫ

Проведение практической работы осуществляется в компьютерном классе кафедры «Электроэнергетические системы и сети» (аудитория Б-302 Б), на персональных компьютерах с предустановленным приложением «Excel 2003.exe».

Для запуска приложения «Excel.exe» студент должен в меню «Пуск» найти подменю «Все программы» → «Microsoft Office 2003» и запустить приложение «Excel 2003» в раскрывающемся списке.

При этом откроется окно приложения «Excel 2003» и будет предложено создать проект или открыть уже существующий.

ОТЧЕТ

Отчет содержит:

- титульный лист с названием учебного заведения, кафедры и лабораторной работы; ф.и.о. студента и преподавателя; год и место выполнения работы;
- протокол испытаний с расчетными и экспериментальными данными и осциллограммами, подписанный преподавателем;
- графическое оформление полученных результатов;
- выводы о соответствии прогнозируемых результатов с полученными.